

Efecto del campo de energía del *Agnihotra* en la purificación del agua

*Ulrich Berk y Shailendra Sharma**

*Presidente, Asociación de Terapia Homa de Alemania, **Director, AIMS College, Dhamnod, MP
E-mail: dght@homatherapie.de; shailendra.b.sharma@gmail.com

Recibido 13 de mayo del 2014, revisado 10 de noviembre del 2014

Agnihotra es un fuego especial realizado exactamente a la hora del amanecer y del atardecer, en una pirámide de cobre. Proviene del antiguo Conocimiento *Védico*. Se dice que el *Agnihotra* purifica el medio ambiente y especialmente se ha encontrado que tiene un profundo impacto en la mitigación del problema de contaminación del agua. El presente estudio muestra que el agua será purificada si es mantenida en una habitación donde el *Agnihotra* es realizado regularmente. Asimismo ocurre una purificación del agua si se mantienen botellas de agua dentro de una Jaula de Faraday en la habitación del *Agnihotra*. Estos resultados sugieren que el *Agnihotra* crea un campo de energía más allá del campo electromagnético, el cual tiene un profundo impacto.

Palabras claves: Purificación del agua, *Agnihotra*, campo de energía, *Prana*, *Vedas*
IPC Int. Cl.: C02F, F23, F24, F16L55/02, F16H 33/00

La disponibilidad de agua potable bebible se está convirtiendo en un creciente problema a nivel mundial. El vertido de desechos industriales, la radiación que proviene de las entrañas de la tierra y de un número de actividades humanas, la polución atmosférica, todo ello está afectando la disponibilidad del agua apta para el consumo humano y el uso agrícola. Esto, junto con las lluvias ácidas, agrava más la situación. Por lo tanto, los métodos de purificación de agua, económicos y fácilmente disponibles, se están volviendo más y más importantes. Algunos reportes sugieren que el antiguo método de *Agnihotra* pudiera ofrecer una solución económica y asequible.

Análisis preliminares han demostrado que si la ceniza de *Agnihotra* es agregada al agua contaminada, ésta se purifica (Mondkar¹, Gerlecka², Matlander³). Además, Matlander demostró que si no solamente se le agrega la ceniza de *Agnihotra* al agua, sino que también se mantiene el agua en una atmósfera de *Agnihotra* (en una habitación donde el *Agnihotra* es realizado regularmente), la reducción de bacterias patógenas es mayor. Sharma⁴ luego dio un paso más y no agregó ceniza de *Agnihotra* sino que simplemente mantuvo botellas de agua al lado de un *Somayag* (un proceso de purificación de fuego, de larga duración – pero que también se basa en los principios del *Agnihotra*). Se observó que también en este caso, el agua se purificó. Sin embargo, puesto que las botellas estaban abiertas, un efecto químico de las partículas del humo no puede descartarse.

Sharma⁵ también mostró que la atmósfera del *Agnihotra* no solamente purifica el agua localmente, sino que también conduce a la purificación de todo un río en las cercanías.

El objetivo del presente experimento fue ver si solamente la atmósfera de *Agnihotra*, sin ningún efecto de la ceniza de *Agnihotra* o del humo de *Agnihotra*, sería capaz de mejorar la calidad del agua (Se ha registrado que la atmósfera de

Agnihotra tiene un efecto positivo en la germinación de semillas, ver Devi/Swamy/Nagendra⁶).

Una primera prueba demostró que luego de un periodo de 5 días, la cuenta de bacterias *Coliformes* se redujo en más del 50%, en comparación con el control (la misma agua mantenida en el laboratorio durante estos 5 días).

Puesto que se excluyó cualquier reacción química, ya sea con la ceniza o con el humo de *Agnihotra*, el efecto solamente podía ser en términos de física. Esto conduce a la premisa que la práctica regular del *Agnihotra* crea un tipo de campo de energía que ayuda a purificar el agua. Pero, ¿qué tipo de campo de energía pudiera ser este?

En la vida diaria, los campos de energía más comunes son los campos electromagnéticos. ¿Pudiera ser que los campos electromagnéticos conduzcan al efecto de purificación del *Agnihotra* en el agua?

A fin de descubrir si es que los campos electromagnéticos generados por el *Agnihotra* son responsables de la mejora en la calidad del agua, se diseñaron los siguientes estudios sistemáticos. Es bien sabido que las Jaulas de Faraday no permiten el paso de las ondas electromagnéticas. Por lo tanto, si los efectos del *Agnihotra* en el agua se basan (en parte) en algunas ondas electromagnéticas, no habría una variación (habría una menor variación) en los parámetros de la calidad de agua, si esta agua fuera mantenida en dichas Jaulas de Faraday. Esto debía examinarse.

Materiales y métodos

1) *Agnihotra*

Agnihotra es el más pequeño y básico fuego sanador Homa, el cual es realizado en una pirámide de cobre de tamaño y forma específicos, sintonizado con el biorritmo de amanecer/atardecer. Proviene de las más antiguas Ciencias *Védicas* de la Bioenergía, la Medicina, la Agricultura y la

Ingeniería Climática. Este conocimiento ha sido revivido por Shree Gajanan Maharaj de Akkalkot, Maharashtra el siglo pasado y enseñado por todo el mundo por su discípulo Shree Vasant Paranjpe⁷. En Berk/Johnson 2009⁸ se ofrece una compilación de reciente investigación sobre el *Agnihotra* y la Terapia Homa.

En esta Antigua tradición, se describe el amanecer de la siguiente manera:

“A la salida del sol los muchos fuegos, electricidades, éteres y energías más sutiles que emanan del sol, se propagan a lo largo de toda la Tierra y producen un efecto de inundación en aquellas coordenadas donde se dice que sale el sol. Este efecto es sorprendente. La inundación vitaliza y purifica todo a su paso, destruyendo todo lo que es impuro. Este torrente de energías sustentadoras de la vida hace que todo ser viviente se regocije. Esta música se puede escuchar al amanecer. El *Mantra del Agnihotra* matinal es la esencia de esa música. Es el sonido quíntesencial de esa inundación. A la puesta del sol, esa inundación se retira” (Paranjpe 1989).

- 1 Los materiales empleados para el presente estudio consisten en lo siguiente:
Un envase de cobre de forma piramidal, 14.5 cm x 14.5 cm en la parte superior, 5.25 x 5.25 cm en la parte inferior y 6.5 cm de alto.
- 2 Fuego preparado con galletas de bosta de vaca debidamente untadas con ghee de vaca y sus ofrendas al fuego, junto con el canto de los siguientes *Mantras de Agnihotra*.

Al amanecer:

*Sooryáya swáhá, sooryáya idam na mama
prajápataye swáhá, prajápataye idam na mama*

Al atardecer:

*Agnaye swáhá, agnaye idam na mama
prajápataye swáhá, prajápataye idam na mama*

2) Realización del experimento

Para el experimento se sacó agua, con un balde, del Río Narmada en Mandleshwar, Madhya Pradesh, India (22° 10' 29" Norte, 75° 39' 59" Este). Se revolvió el agua y luego se distribuyó en botellas de vidrio para la experimentación.

Inmediatamente se llevaron tres botellas para el control al laboratorio de Shri Umia College, Mandleshwar, MP (primeras dos réplicas) y de AIMS College, Dhamnod, MP (tercera réplica además de varios experimentos de control). Las medidas se realizaron entre octubre del 2012 y febrero del 2014.

Se llevaron diecisiete botellas al Goshala de Terapia Homa en Maheshwar, MP. Cada tres de las botellas llenas de agua fueron colocadas en envases hechos de acero inoxidable, cobre y aluminio, respectivamente. Se tomó la precaución de que no hubiera contacto directo entre las botellas y los envases de metal. En el fondo de los recipientes de metal se colocó una pieza de bosta seca de vaca y en los lados se dejó una distancia de 1 cm. Luego, se cerraron los envases de metal con una tapa de cierre firme, a fin de obtener Jaulas de Faraday.

Además de estas 9 botellas de agua selladas en envases de metal para fines de comparación, también se usaron 8 botellas sin envases de metal (llenas de la misma agua del Río Narmada).

Todas estas botellas fueron colocadas en la cabaña de *Agnihotra* en el Goshala de Terapia Homa de Maheshwar, donde el *Agnihotra* ha estado siendo practicado regularmente a la hora exacta de salida y puesta de sol. No se realizan otras actividades en esta cabaña de *Agnihotra*, y no se pronuncian allí palabras que no sean los mantras relacionados con el *Agnihotra*.

Las Figs. 1 & 2 muestran ambas botellas protegidas y desprotegidas en la cabaña de *Agnihotra*, y la Fig. 3 muestra el arreglo de todas las botellas de agua para el experimento.



Fig. 1 – Lado izquierdo: Botellas de agua en envases de metal; Lado derecho: el *Agnihotra* es realizado en la pirámide del lado izquierdo.



Fig. 2 – Botellas desprotegidas.

La temperatura en la cabaña de *Agnihotra* (donde se mantuvieron las muestras experimentales) y en la oficina del laboratorio (donde se mantuvieron las muestras de control) solamente mostraron diferencias mínimas.

Luego de 5 días todas las muestras de agua fueron retiradas de la cabaña de *Agnihotra* y llevadas al laboratorio para su análisis. Se examinaron los más importantes parámetros físico químicos del agua en estas muestras y en aquellas de control mantenidas allí: Oxígeno Disuelto (OD), pH, Demanda Química de Oxígeno (DQO), dureza y cuenta de bacteria *Coliforme*.

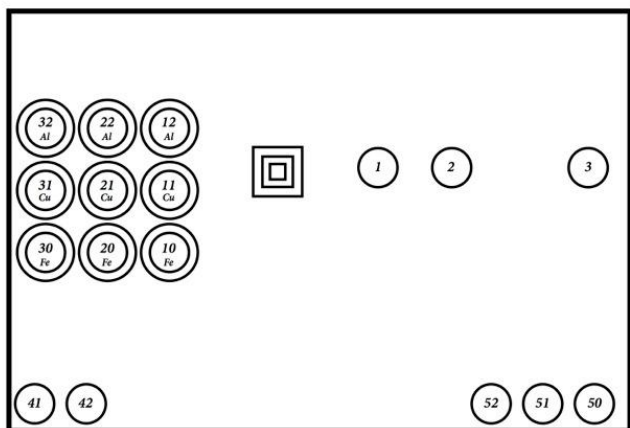


Fig. 3 – Despliegue de botellas protegidas y desprotegidas. Un círculo – botella desprotegida. Dos círculos – botella protegida, se indica el metal.

Los parámetros físico químicos del agua fueron determinados según los métodos estándar de APHA⁹ y Welch¹⁰.

Los parámetros tales como la temperatura, el pH, el Oxígeno Disuelto (OD) y la turbidez fueron determinados en el lugar, mientras que otros parámetros tales como la Demanda Química de Oxígeno (DQO), cloruro, fosfato, nitrato, alcalinidad, CO₂ libre, sólidos totales fueron determinados en el laboratorio.

Las pruebas fueron realizadas según el protocolo del estudio ciego simple: A fin de evitar un sesgo en los resultados, todas las botellas fueron marcadas con números solamente antes de examinarlas en el laboratorio.

Resultados y Discusión

El experimento fue realizado con tres réplicas. Todas mostraron considerables mejoras en la calidad del agua en comparación con las muestras de control en todos los cinco parámetros examinados. La Tabla 1 muestra los resultados en detalle, la Tabla 2 muestra los cambios porcentuales en comparación con el control.

La Fig. 4 es una representación gráfica que compara las propiedades de todas las muestras de agua mantenidas en la atmósfera de *Agnihotra* versus las muestras de control.

Hubo una mejora general en la calidad de agua en todos los parámetros medidos en comparación con el control. Estos cambios son consistentes en las tres réplicas.

Aunque hubo alguna diferencia entre las muestras de agua mantenidas en los envases de metal y las muestras mantenidas en las botellas en relación a OD, pH, y DQO, esta diferencia fue bastante pequeña en comparación con la diferencia con el control (Fig. 5).

Además, hubo algunas diferencias entre los diferentes tipos de envases de metal – pero nuevamente estas diferencias fueron pequeñas en comparación con la diferencia con el control. Más experimentos podrían investigar estas diferencias más a profundidad.

Los principales resultados con todas las tres réplicas y todos los parámetros de calidad de agua son:

- La atmósfera de *Agnihotra* ayuda a purificar el agua.
- Este efecto de purificación ocurre ya sea que las muestras de agua se mantengan en Jaulas de Faraday o no.

La conclusión parece natural que existe algún tipo de campo de energía alrededor del *Agnihotra* que no es del conocido tipo electromagnético y que no es protegido por las Jaulas de Faraday.

Si alguien tuviera alguna explicación alternativa, sería interesante escuchar acerca de ello.

Discusión más detallada

La mayor variación entre las muestras mantenidas en botellas dentro de los 3 diferentes envases de metal, fue en Oxígeno Disuelto (OD). El agua mantenida en acero inoxidable mostró un efecto muy pronunciado, mientras que el menor impacto ocurrió en el agua mantenida en el envase de aluminio.

Asimismo, hubo algunas diferencias entre las muestras mantenidas solamente en botellas y las muestras donde las botellas fueron mantenidas en estos envases de metal que actuaron como las Jaulas de Faraday: las muestras en las Jaulas de Faraday mostraron una mejora menor. Una posible explicación para aquel resultado pudiera estar relacionada con la temperatura. Se sabe que la temperatura predominante afecta mucho el OD. Se midió la temperatura en la cabaña de *Agnihotra* antes/después del *Agnihotra* (a una distancia de aproximadamente 50 cm del fuego). Normalmente la temperatura subió 1°C después del *Agnihotra* y bajó al valor registrado antes del *Agnihotra* en el transcurso de 20 o 30 minutos. Probablemente este pequeño cambio de temperatura que también duró un corto periodo de tiempo, puede ser obviado.

Es posible que los envases de metal absorban radiaciones infrarrojas del fuego de *Agnihotra* y almacenen el calor por un tiempo más prolongado, de manera que dentro de los envases la temperatura se incrementa por un periodo más largo que en el exterior. Pero entonces pudiera esperarse que las muestras en los envases al lado del fuego de *Agnihotra* tuvieran el menor

Oxígeno Disuelto (OD) y aquellas más lejanas el nivel más alto de OD. La data no es concluyente en este respecto. Aún así, esta hipótesis puede ser probada en futuros experimentos, colocando algún sensor de temperatura dentro de los envases de metal.

El principal resultado sin embargo no se ve alterado por estas variaciones entre las tres réplicas y entre las botellas en diferentes materiales empleados como protección – la significativa mejora de la calidad del agua de todos los parámetros que fueron medidos si el agua es mantenida en una atmósfera de *Agnihotra*.

Los envases de metales como el cobre, el acero o el aluminio funcionan bien como una Jaula de Faraday para proteger ondas electromagnéticas de un amplio rango. Pero si usted va hacia el final de una muy alta radiación de energía (como los rayos gamma), estos envases empleados no pueden prevenir que los rayos penetren al interior. Para mayores estudios, se sugiere realizar un experimento en el cual se emplee mejor un envase de plomo. Un centímetro de grosor de pared debería ser suficiente para al menos lograr una diferencia en el efecto sobre el agua. El presente estudio mostró algunas interesantes observaciones en la mitigación del problema de contaminación del agua. Se sugiere considerar la importancia de más estudios de investigación sistemática. El diseño experimental puede ser modificado en diferentes direcciones:

a) Tener muestras a diferentes distancias de la pirámide de *Agnihotra* (Las distancias al interior de la cabaña de *Agnihotra* variaron de 50 cm a 3 m aproximadamente - esto no tuvo un claro efecto en los resultados).

Se podría colocar muestras al exterior de la cabaña de *Agnihotra* a diferentes distancias.

Esto también ayudaría a ver si los efectos del campo de energía del *Agnihotra* dentro y fuera de la cabaña de *Agnihotra* son los mismos a la misma distancia o no.

b) Colocar las muestras en una habitación donde nunca antes se haya realizado el *Agnihotra* y se realice solamente por los 5 días del experimento. Esto ayudaría a descubrir si el campo de energía se acumula en un periodo de tiempo.

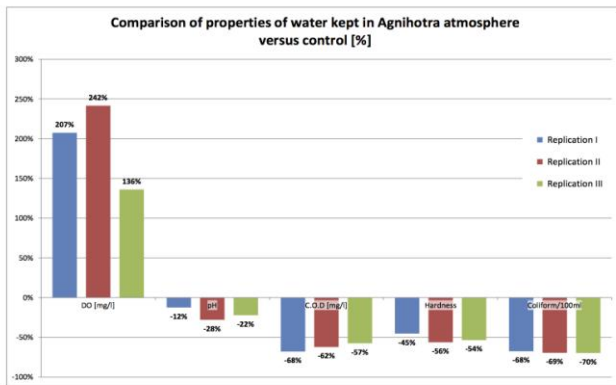


Fig. 4 – Comparación de las propiedades del agua mantenida en atmósfera de *Agnihotra* versus control (%)

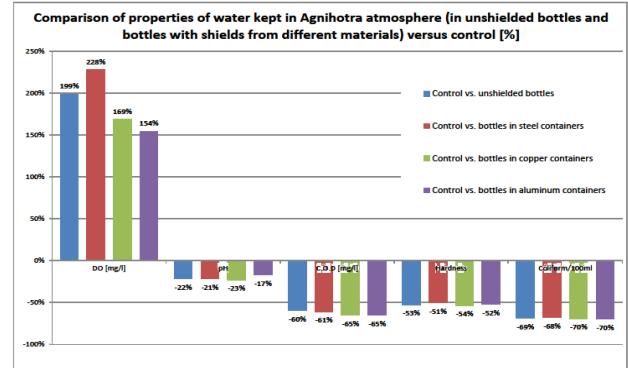


Fig. 5 – Comparación de las propiedades del agua mantenida en atmósfera de *Agnihotra* (en botellas desprotegidas y botellas con protección de diferentes materiales) versus control (%)

Es posible también colocar las muestras en una cabaña de *Agnihotra* donde se haya realizado continuamente el *Agnihotra* durante varios años - pero no realizar el *Agnihotra* durante el tiempo del experimento y ver si el campo de energía del *Agnihotra* aún está presente después de algún tiempo de no realizarse.

c) Mantener las muestras solamente por un día, dos días, etc. para ver cuán rápido ocurren estos cambios en la calidad del agua – y también continuar por unos 30 días para ver si la mejora continúa o se detiene en algún momento. Sin embargo lo más interesante es la pregunta: ¿qué tipo de campo de energía es creado por el *Agnihotra* y cómo este tipo de campo de energía produce los cambios en la calidad del agua? (Asumir la posibilidad de ondas electromagnéticas de alta energía que no pueden ser protegidas por el tipo de Jaula de Faraday empleado, puede obviarse).

Se sugieren dos hipótesis para futuros estudios:

- 1) Existen microorganismos en el agua contaminada que son activados por el campo de energía del *Agnihotra* y por tanto ayudan a mejorar las propiedades del agua.
- 2) El *Agnihotra* crea un campo de energía en los alrededores que no se limita a campos electromagnéticos.

La primera hipótesis requiere de mayores estudios en el campo de la Microbiología, identificando microorganismos que puedan ayudar a mejorar la calidad del agua y examinar minuciosamente cómo su actividad es influenciada por la atmósfera del *Agnihotra*.

La segunda hipótesis significa un reto para los físicos. La forma piramidal del recipiente de *Agnihotra* probablemente juegue algún papel – aún no muy investigado, pero existen algunos estudios preliminares en este campo¹¹.

Un importante estudio sería: ¿qué tipo de campo de energía podría ser este? Una posibilidad es energía "*Prana*" – pero entonces este concepto de "*Prana*" debe ser traducido al lenguaje de la ciencia moderna, y especialmente se requerirán métodos para medir la energía del *Prana*¹².

BERK & SHARMA: EFECTO DEL CAMPO DE ENERGÍA DEL *AGNIHOTRA* EN LA PURIFICACIÓN DEL AGUA

Tabla 1-Datos en Bruto de tres réplicas del experimento

	OD [mg/L]			pH			DQO [mg/L]			Dureza			Coliforme/100 ml		
	R1	R2	R3	P1	P2	P3	C1	C2	C3	H1	H2	H3	C1	C2	C3
Control A	3	2,5	3,5	9	9,5	9	70	90	100	210	300	350	900	1000	1100
Control A	3,4	3	3,9	8,8	8,9	9,5	80	95	110	240	355	365	950	1100	1250
Control A	3,8	2,2	2,8	8,6	9,3	9,8	90	100	120	275	375	380	1100	1250	1350
Control Promedio	3,4	2,57	3,4	8,8	9,23	9,43	80	95,00	110,00	241,67	343,33	365,00	983,33	1116,67	1233,33
Desviación Estandar	0,40	0,40	0,55	0,20	0,31	0,40	10,00	5,00	10,00	32,53	38,84	15,00	104,08	125,83	125,83
Botellas desprotegidas	12,2	11	9,8	7,2	6,2	6,9	30	40	50	135	150	165	369	380	440
Botellas desprotegidas	14	12	10	7,9	7	7,7	32	36	45	125	135	155	420	430	480
Botellas desprotegidas	12,4	10	8	7,5	6,8	7,8	28	41	55	130	145	170	320	360	400
Botellas desprotegidas	9,8	8,5	7,9	7,8	6,9	7,8	20	27	35	110	135	145	250	270	295
Botellas desprotegidas	10,6	8,8	7,8	7,7	6,2	6,9	28	33	50	125	140	170	290	300	335
Botellas desprotegidas	8,5	7	6,6	7,5	6,5	7,2	38	45	55	135	150	165	250	295	310
Botellas desprotegidas	9,8	8,2	8,5	7,4	7	7,9	32	33	45	140	160	185	300	290	315
Botellas desprotegidas	8,5	7,1	6,9	7,2	6,2	6,8	30	38	50	150	175	195	380	400	410
Botella en envase Fe	12,8	10,2	9	7,7	6,1	6,8	22	39	50	140	165	180	300	325	355
Botella en envase Fe	11	9	8,2	8	6,9	7,5	22	32	50	140	170	190	420	435	450
Botella en envase Fe	12	10,5	9,5	7,8	6,5	7,5	24	42	52	125	140	160	290	310	330
Botella en envase Cu	9,6	7,5	7,8	7,8	6	6,9	30	37	45	135	155	175	410	425	455
Botella en envase Cu	9	7	6,5	7,8	6,8	7,2	23	37	40	136	155	165	280	295	355
Botella en envase Cu	10,4	9,54	8,24	7,5	6,5	7	15	30	39	110	135	155	250	280	300
Botella en envase Al	8,6	7	7,7	8,2	7,2	7,8	24	35	45	150	165	180	370	395	455
Botella en envase Al	8,9	7,5	6,5	7,9	6,7	7,2	20	40	50	140	150	180	300	320	350
Botella en envase Al	9,6	8,2	7,5	8,1	7,5	8	18	25	39	120	130	150	232	285	305
Promedio atm. Agni	10,45	8,77	8,03	7,71	6,65	7,35	25,65	35,88	46,76	132,12	150,29	169,71	319,47	340,88	372,94
Desviación Estandar	1,69	1,56	1,09	0,29	0,42	0,43	6,00	5,37	5,83	11,75	13,52	14,19	63,07	58,18	63,86

Tabla 2 – Cambios porcentuales en comparación con Control

	Oxígeno Disuelto %				pH %				DQO %				Dureza %			Coliforme/100 ml %				
	Repl I	Repl II	Repl III	Pro Repl I-III	Rep I	Rep II	Rep III	Prom. Repl. I - III	Repl. I	Repl. II	Repl. III	Prom. Repl. I - III	Rep I	Rep II	Rep III	Prom. Repl. I - III	Repl. I	Repl. II	Repl. III	Prom. Repl. I - III
Prom. Total	207 %	242 %	136 %	191 %	-12%	-28%	-22%	-21%	-68%	-62%	-57%	-62%	-45%	-56%	-54%	-52%	-68%	-69%	-70%	-69%
Prom. acero inox.	251 %	286 %	162 %	228 %	-11%	-30%	-23%	-21%	-72%	-60%	-54%	-61%	-44%	-54%	-52%	-51%	-66%	-68%	-69%	-68%
Prom. Cobre	184 %	212 %	121 %	169 %	-13%	-30%	-25%	-23%	-72%	-64%	-62%	-65%	-47%	-57%	-55%	-54%	-68%	-70%	-70%	-70%
Prom. Alum.	166 %	195 %	113 %	154 %	-8%	-23%	-19%	-17%	-74%	-65%	-59%	-65%	-43%	-57%	-53%	-52%	-69%	-70%	-70%	-70%
Prom. Bot. proteg.	200 %	231 %	132 %	183 %	-11%	-28%	-22%	-20%	-73%	-63%	-59%	-64%	-45%	-56%	-53%	-52%	-68%	-69%	-70%	-69%
Prom. Bot. Despro	215 %	254 %	141 %	200 %	-14%	-29%	-22%	-22%	-63%	-61%	-56%	-60%	-46%	-57%	-54%	-53%	-67%	-69%	-70%	-69%

Se necesitan muchos más estudios interesantes, y estos podrían ayudar a comprender mejor tales básicos conceptos Védicos como el “Prana” en términos de la ciencia moderna. ¡Todos los científicos de las diferentes disciplinas están invitados a unir fuerzas!

Agradecimiento

Los autores agradecen al Fivefold Path Mission por mantener las muestras de agua en la cabaña de *Agnihotra* en su *Goshala* en Maheshwar, así como al Shri Umia College, Mandleshwar, y AIMS College, Dhamnod, Madhya Pradesh, por analizar las muestras de agua del experimento.

Referencias

- 1 Mondkar A, Agnihotra and Microbes, A Laboratory Experience, *Satsang*, 9 (20) (1982) 2-7.
- 2 Gerlecka E, Observations with Agnihotra Ash and Water, *Satsang*, 16 (1-3) (1988) 11.
- 3 Matlander J, Study of the Effect of Agnihotra Ash on Pathogenic Bacteria, Documento no Publicado, 2013.
- 4 Sharma S, Water Quality Purification Through Homa Therapy, será publicado en el 2014.
- 5 Sharma S, Sengupta T & Kapil S, Somayag Influences on Different Parameters of Narmada River, *Indian Res Comm*, 5(1) (2011) 55-56.

- 6 Devi HJ, Swamy NVC & Nagendra HR, Effect of *Agnihotra* on the germination of rice seeds, *Indian J Tradit Knowle*, 3(3) (2004) 231-239.
- 7 Paranjpe VV, Homa Therapy - Our Last Chance, (Fivefold Path Inc., Madison, VA, USA), 1989.
- 8 Berk U & Johnson B, Bringing Homa Farming into the Mainstream of Indian Agricultural System, (Fivefold Path Publications, Dhule), 2009.
- 9 APHA (American Public Health Association): Standard Methods for the Examination of Water and Wastewater, 21st edn, American Water Works Association and Water Pollution Control Federation, Washington, D.C 2002.
- 10 Welch PS, Limnological methods, (McGraw-Hill Book Co., New York), 1998.
- 11 Itagi RK, Swamy NVC & Nagendra HR, Effect of Pyramids on Microorganisms, *Indian J Tradit Knowle*, 4(4) (2005) 373-379.
- 12 Recientemente existen diferentes métodos que parecen realizar ello – tales como la Fotografía de Policontraste por Interferencia, la Técnica de Visualización de Descarga de Gas, desarrollada por K. Korotkov en base a la fotografía Kirlian, los registros de Medidores de Energía Vital. Se planea en el futuro realizar más investigaciones con estos métodos.

